

アスファルト混合物の圧入性に関する一考察

東北工業大学 土木工学科 正員 〇 新沼 正博
 同上 正員 新沼 登

1. 緒言

アスファルト舗装の耐久性評価上、アスファルト混合物中に存在する空隙のうちの、重要なファクターとなることは各種の研究報告から明瞭である。この混合物中の空隙の量及び質を支配すると言われる、締固めに関する研究は、理論的要素の進んでいる設計面の研究に比べ、立ち廻りの現状がある。特に現場ローラー車圧においては、定性的に空隙の減少が混合物中の骨材粒子の回転及び錯直、水平両方向の移動に起因するが、その締固めのメカニズムを確立させるまでにはいたっていない。

本報告は、この様に不明な点が多い締固め機構を解明すべく、現場ローラー車圧に類似させた複型ローラーによる車圧を行ない、その際のアスファルト混合物の挙動を調査しようとするものである。

2. 実験要領

2-1 実験試料：使用したアスファルト混合物はサンドアスファルト配合に属する粒径 ϕ 毎レ、バインダー含有量は9%である。

2-2 実験方法及び解析法：A型複型ローラーの型枠(10×14×120cm)K試料を詰め、その供試体側

実 験 条 件			
載正線荷重	2.8kg/cm, 2.2kg/cm	ローラー走行速度	4.2cm/sec
初期空隙率	17 ± 0.2%	載正厚	72mm
締固め粒径	7 × 10 ³ CP	写真撮影速度	2コマ/sec

表1. 実験条件.

面に1cm間隔に縦6本×横45本、計270本のピンを打ち込んだ。直径26cmのローラドラムに回転力を与え、一方向車圧を行ない、その際のピンの動きをメモーションカメラで連続写真撮影し、そのフィルムを2K座標解析装置でピンの座標値を読み取り、混合物の挙動として追跡・測定する。この座標値をも2K座標値を算出していくものである。実験条件については表1K示す通りである。

3. 実験結果及び考察

3-1 車圧におけるマクロ的挙動

3-1-1 車圧挙動における一般のパターン

載正荷重下におけるアスファルト混合物の一般のパターンは写真1K示すものである。本報告ではその交換すため、ある条件におけるローラー荷重位置を3実述び、各々の位置において写真1の粒子状態を認め取った。次に、3実の荷重位置をローラー中心と重ね合わせることによって1つの位置にまとめ、パターンが荷

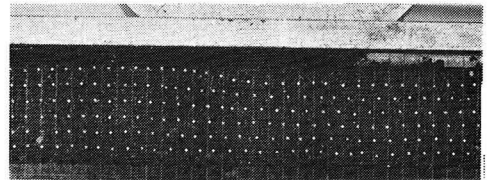


写真1. 車圧挙動における一般のパターン

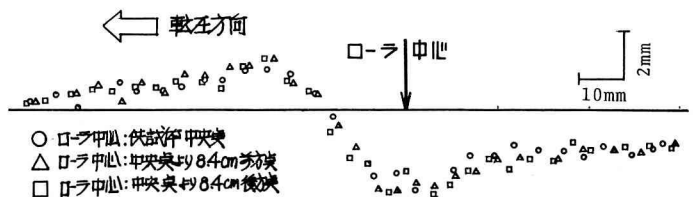


図1. 車圧挙動における一般のパターンの重ね合わせ

重位置によって変化していないことが確認された。この事は此条件においても確認された。以上の事は図1K示す通りであるが、3種の記号が重なり合い、一つの形状を示していることがわかる。ここにおいて、車圧においてはローラー進行とともに、右方部の隆起と踏み込む粒子の形が締固められ、あらかた粒子の低い

載圧等効においては、パターンがある一定速度(=ロー走行速度)で、ロー進行方向に移動するのであるから、図3の様に、等効開始点を原点とし、 $x-y$ 座標軸を考えると、②式は、 t 秒間の内数として

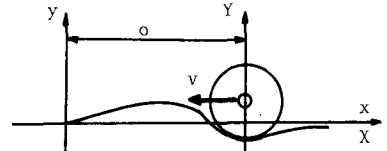


図3. 一般の199-1の座標系

$$y = a_0 + a_1 \sin(Rx + \delta t - \beta_1) + a_2 \sin[2(Rx + \delta t) - \beta_2] + \dots + a_m \sin\{M(Rx + \delta t) - \beta_m\} \quad \text{③}$$

の様に表すことができる。ただし $R = \frac{2\pi}{L}$, $\delta = \frac{2\pi v}{L}$

v = ロー走行速度, L = 波長, R = 角波数, δ = 角振動数である。

次に y 軸を等効開始点からロー中心に距離 θ だけ移動させ、

新座標系 $X-Y$ 座標軸を考えると、③式は x に $X + \theta$ を代入することにより次式の形になる。

$$Y = a_0 + a_1 \sin\{R(X + \theta) + \delta t - \beta_1\} + a_2 \sin\{2\{R(X + \theta) + \delta t\} - \beta_2\} + \dots + a_m \sin\{M\{R(X + \theta) + \delta t\} - \beta_m\}$$

と表す。これを整理して、

$$Y = a_0 + a_1 \sin\{RX + \delta t - (\beta_1 - R\theta)\} + a_2 \sin\{2(RX + \delta t) - (\beta_2 - 2R\theta)\} + \dots + a_m \sin\{M(RX + \delta t) - (\beta_m - MR\theta)\} \quad \text{④}$$

と表す。

次に実際の条件の場合として、載圧線荷重 2.8 kg/cm におけるパターンの曲線の近似式を求めてみる。実際の近似計算においては、1波長の分割数 N を24とするが、④式の形を近似式が得られ、 M が大きいほど、充分な近似値が得られるから、 $Y = a_0 + a_1 \sin\{RX + \delta t - (\beta_1 - R\theta)\} + a_2 \sin\{2(RX + \delta t) - (\beta_2 - 2R\theta)\} + \dots + a_m \sin\{6(RX + \delta t) - (\beta_6 - 6R\theta)\}$ とロー形になる。

2.8 kg/cm の場合、載圧回数ごとに近似式は次の通り。

• 載圧1回目 $Y = -3.9 + 21.8 \sin\{1.2X + 48.5t + 223.2\} - 8.4 \sin\{2(1.2X + 48.5t) + 426.0\} + 6.3 \sin\{3(1.2X + 48.5t) + 677.2\} - 2.8 \sin\{4(1.2X + 48.5t) + 856.8\} + 1.7 \sin\{5(1.2X + 48.5t) + 1163.2\} + 1.5 \sin\{6(1.2X + 48.5t) + 1499.6\}$

• 載圧2回目 $Y = -2.5 + 23.6 \sin\{1.4X + 58.4t + 226.4\} - 8.6 \sin\{2(1.4X + 58.4t) + 431.8\} + 5.4 \sin\{3(1.4X + 58.4t) + 658.7\} - 2.9 \sin\{4(1.4X + 58.4t) + 840.2\} + 1.1 \sin\{5(1.4X + 58.4t) + 1040.2\} + 0.9 \sin\{6(1.4X + 58.4t) + 1465.2\}$

• 載圧3回目 $Y = -3.2 + 20.9 \sin\{1.6X + 66.6t + 236.4\} - 6.6 \sin\{2(1.6X + 66.6t) + 451.1\} + 3.2 \sin\{3(1.6X + 66.6t) + 672.1\} - \sin\{4(1.6X + 66.6t) + 838.7\} + 0.2 \sin\{5(1.6X + 66.6t) + 1145.8\} + 0.6 \sin\{6(1.6X + 66.6t) + 1415.5\}$

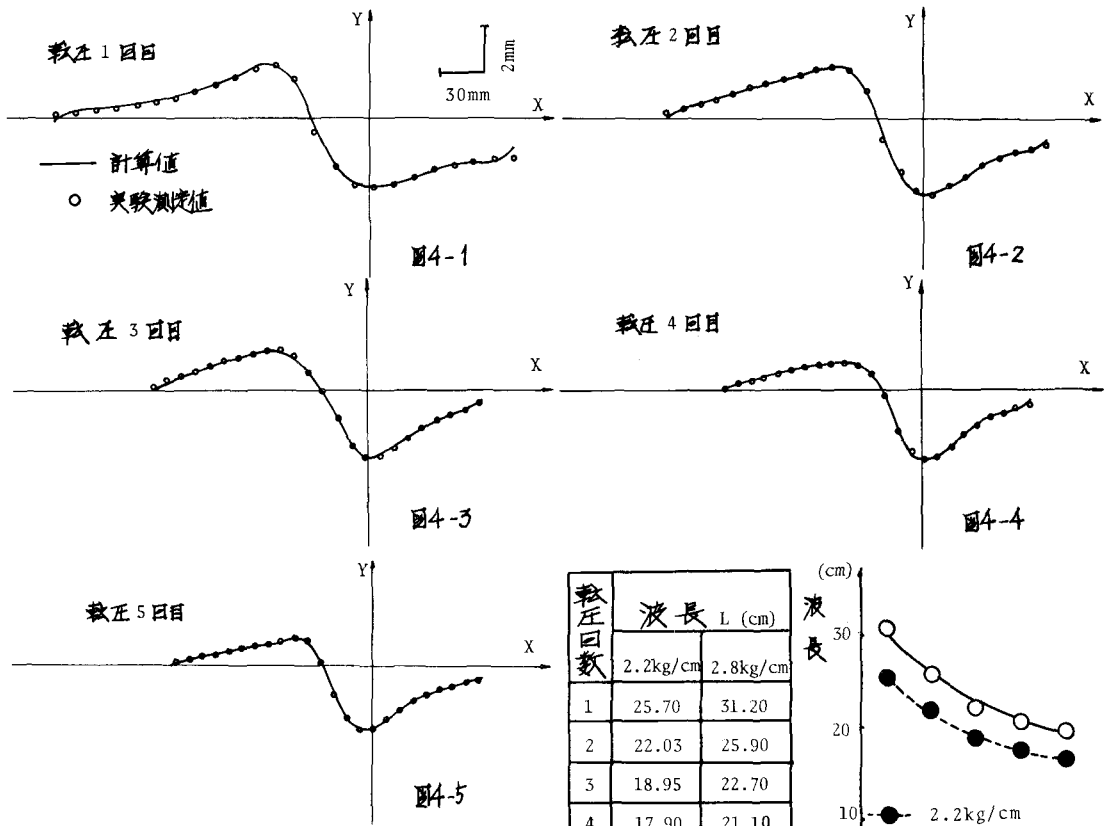
• 載圧4回目 $Y = -4.7 + 18.1 \sin\{1.7X + 71.7t + 234.4\} - 6.8 \sin\{2(1.7X + 71.7t) + 428.2\} + 3.9 \sin\{3(1.7X + 71.7t) + 650.0\} - 1.5 \sin\{4(1.7X + 71.7t) + 826.5\} + 0.7 \sin\{5(1.7X + 71.7t) + 1112.8\} - 0.5 \sin\{6(1.7X + 71.7t) + 1266.4\}$

• 載圧5回目 $Y = -4.6 + 16.2 \sin\{1.8X + 75.6t + 234.5\} - 6.6 \sin\{2(1.8X + 75.6t) + 445.7\} + 4.3 \sin\{3(1.8X + 75.6t) + 659.5\} - 1.2 \sin\{4(1.8X + 75.6t) + 870.5\} + 1.3 \sin\{5(1.8X + 75.6t) + 1116.7\} + 0.1 \sin\{6(1.8X + 75.6t) + 1260.7\}$

以上の式中、正弦面の中は度単位で表すのである。

これらの近似式を用いて計算した曲線と実験測定による得られたパターン曲線の値とを円面上で比較すると、図4-1から図4-5まで示す様に、計算値(実線)と実験測定値(○印)はよく一致している。両端部において若干のズレは現れるが、よい近似と言えるだろう。

載圧線荷重 2.2 kg/cm の場合においても、同様に近似式が得られる。載圧等効の一般のパターンに対する波の端部のアプロ-チの妥当性が確認される。



載圧回数	波長 L (cm)	
	2.2kg/cm	2.8kg/cm
1	25.70	31.20
2	22.05	25.90
3	18.95	22.70
4	17.90	21.10
5	16.80	20.0

表 2. 波長の長さ

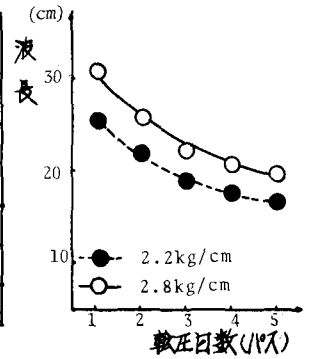
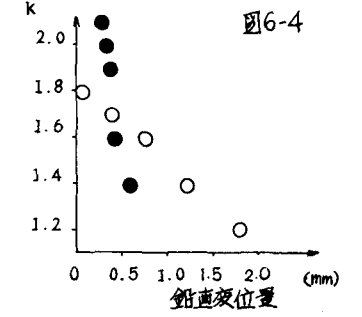
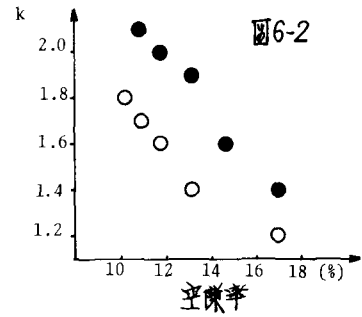
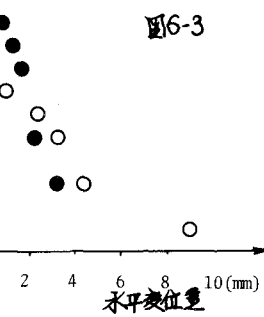
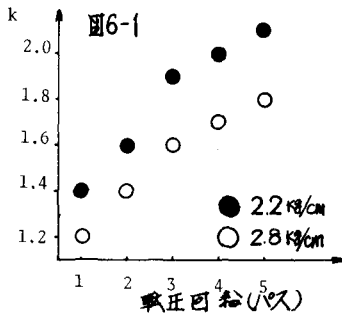


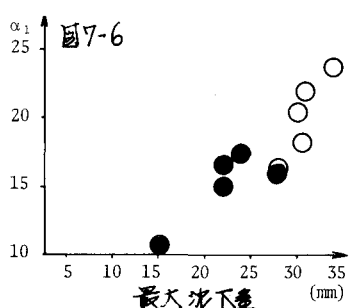
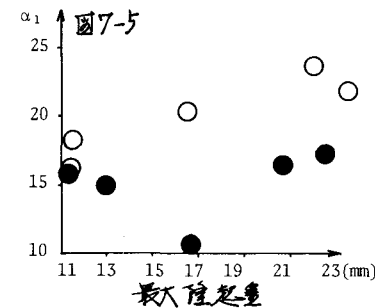
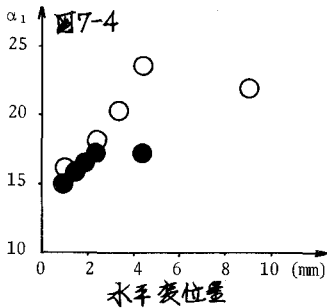
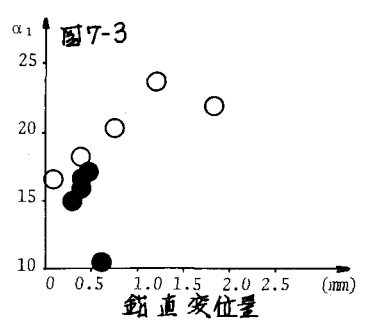
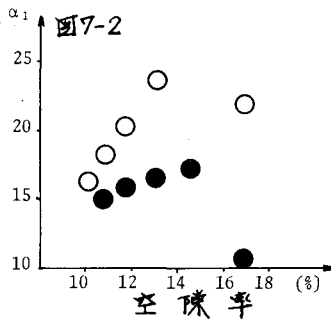
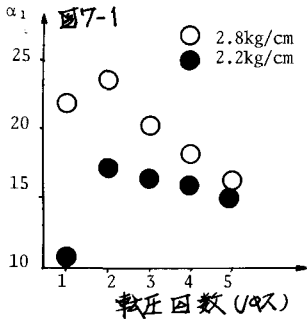
図 5. 波長と載圧回数

これから近似式において、波長 L 、角波数 k 、角振動数 ω の数值についての載圧線荷重、空隙率、鉛直及び水平変位量との関連性を検討してみる。まず k 、波長 L は表 2及び図 5より k も亦 L も、載圧線荷重大き程長く載圧回数とともに k 短かく L も長くなる。混合物の締め固め抵抗の増加を意味するのだろう。次に k についてみると載圧線荷重大き程小さく、載圧回数とともに単調増加の傾向がある。図 6-1より図 6-4に示す通りであるが、 k はこれらの要素とも相関関係があるが特に水平変位量 k に関しては、載圧線荷重に相関関係を一般的に認められる。この k においても L と同様に相関関係にあることがわかっている。この k に、 σ の値が、載圧等効に関係した各々の要素とある相関関係を示す



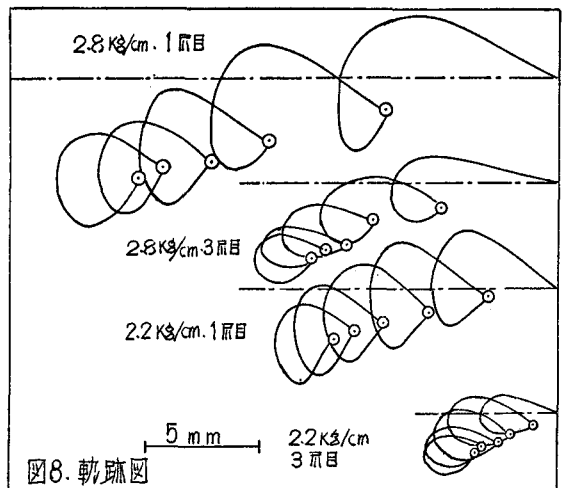
ことは、軟圧挙動の一般的パターンへの波動論的アプローチとシマ符から近似的の有義性を示すものであろう。

次に、近似式中の係数について検討してみる。係数は波動における振幅に相対した値であり、パターンにおいては最大隆起量、最大沈下量などから求める波高に相対した値とをさす。近似式において、量的の大きさから見て、オーソ交頭の係数(④式中の α_1 に相当する)の値が大きく、それだけ波形に及ぼす影響大と思われる。そこで、 α_1 と軟圧回数、空隙率、鉛直変位量、水平変位量、最大隆起量、最大沈下量との関係を図7-1から図7-6までの図面上で検討してみる。係数値は、軟圧回数とともに減少傾向にあり、軟圧が進むにつれ波高が低くなり、混合物の構造が緻密が増加することと意味するのだから、係数値は此の要素とも図示する様に正の相関関係にあり、特に最大沈下量においてはその傾向が顕著である。以上の検討から、 α_1 とは逆の関係にあるが、軟圧挙動の評価上、大切な因子となる様に考えらる。



3-2 軟圧におけるミクロ的挙動

軟圧挙動における一般的パターンとマクロ的挙動とを比較してみたいが、アスファルト混合物の微小要素として考えられる供試体側面に打ち込んだピン軌跡をミクロ的挙動として検討してみる。II-ラ進行ととも微小要素は図8の様に、変形したスパイラルのごとき軌跡を描いて移動し、その位置は斜め方向に直線的に変化していく。この軌跡が構造的な圧縮に相対した要素として、量積面から軌跡による急急される面積値と、質積面から軌跡の扁平度値とをとり、両者の値が空隙率などの値とある相関関係を示すことから、構造的要素を表わす特性値として採用できよう。



ることになった。

次にミクロ的要素のひとつとして、転圧に伴う材料の回転運動について考えらる。従来より、転圧効果の要素として、鉛直及び水平面方向の変位を以て回転ということが述べられてきたが、回転運動を確認する粒子顕微鏡写真は木片發表さからいふに思える。本報告では、その回転運動を確認すべく、次の粒子解析を試みた。

供試体側面上、任意の点のピンによって構成される直角二等辺三角形の要素を考え、その長辺と水平面とのなす角度を転圧過程におい
て測定した。図9の木片標本、縦軸にH-ラ中央と三角形要素の距離を、縦軸に長辺と水平面のなす角度をとると、H-ラ進行とともに角度は増加し最大値をいれた。さらにH-ラが接近すると角度は減少し始め、H-ラが三角形の直上付近にありと最小値をいれた。さらにH-ラが通過すると角度は再び増加する傾向を示したのである。この角度は転圧回数に従い、減少の傾向があり、増加-減少-増加の程度も徐々に増減する標本である。この標本に三角形の微小要素が何度変化をいれることは、完全なものではないが、アスファルト混合物の転圧効果として回転運動を確認でき天候に考えらる。転圧効果とミクロ的にみると、スパイラルの如き軌跡と不完全な回転運動とが、一度、地球の自転と公転の関係の標本に組み合わさった形で行われらることがわかった。

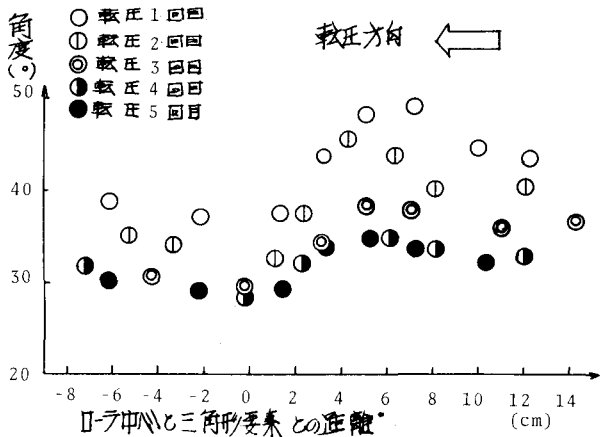


図9. 回転運動

4. 結 語

転圧時のアスファルト混合物の挙動をマクロ的及びミクロ的観点から考察し、次の事を結論づけらるると考えらる。

1. 転圧効果をマクロ的に見ると、1種の進行波としてみることはでき、そのパターンは正弦波と乗波の組み合わせとして、その複雑な形状を表現できる標本である。
2. ミクロ的にみると、混合物は転圧荷重の移動による変形したスパイラルの如き軌跡に沿って移動すると思えらる。
3. 更にこの混合物は、移動に伴って回転を伴うことが認めらる。
4. 結局の挙動は上記3種の運動の組み合わせによる表現でき、これらの複雑な運動が、併に言わらるるところの *Kneading Action* を与える原因と考えらる。

なお、本報告は、結局の挙動を概念的に把握したものであり、各種条件下の測定を通じて、各種の数値をも物理的意義について更に検討を加えらる予定である。

(参考文献)

1. 「アスファルト混合物の転圧性状の関心」 新田 登 (石油学会誌才1巻オム号に発表)
2. 「瀧沢亭」 中野 義人
3. 「軌跡荷重下におけるアスファルト混合物の変形」 新沼正博、新田登 (土木学会才30周年次講演会発表)